

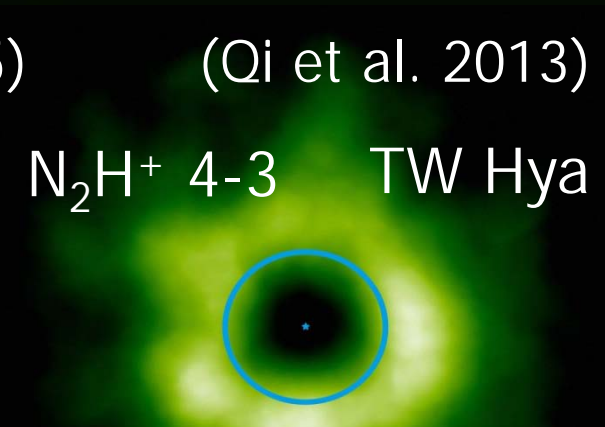
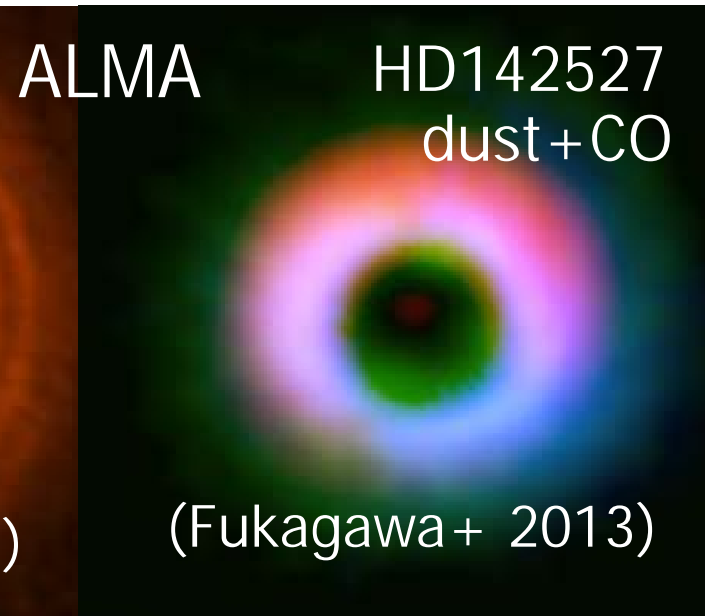
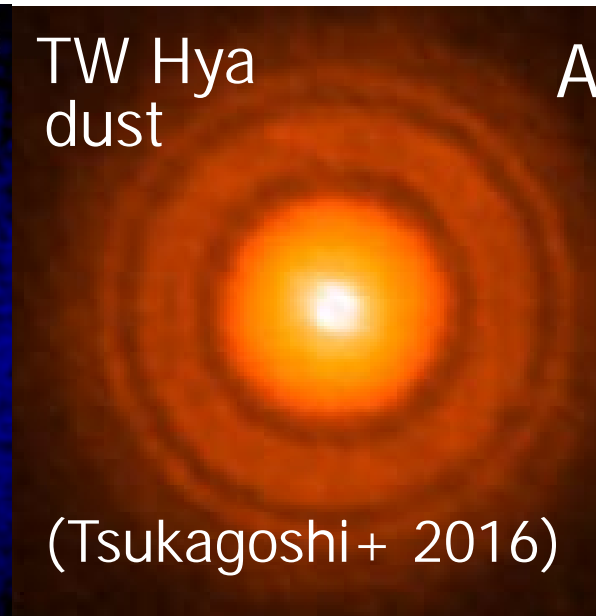
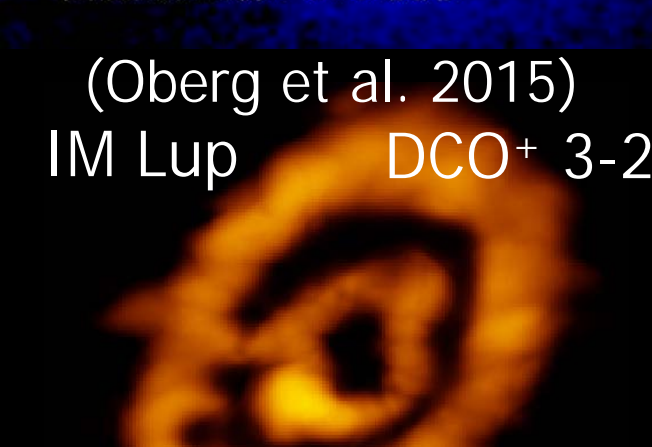
基研研究会「原始惑星系円盤」  
2017年7月10-12日 @ 京都大学

# 原始惑星系円盤からの 衝撃波トレーサー分子 のALMA観測

野村英子<sup>1</sup>, 樋口あや<sup>2</sup>, 坂井南美<sup>2</sup>, 山本智<sup>3</sup>, 長沢真樹子<sup>4</sup>,  
田中今日子<sup>5</sup>, 三浦均<sup>6</sup>, 中本泰史<sup>1</sup>, 田中秀和<sup>7</sup>, 山本哲生<sup>5</sup>,  
C. Walsh<sup>8</sup>, T.J. Millar<sup>9</sup>

1. 東工大, 2. 理研, 3. 東大, 4. 久留米大, 5. 北大低温研,  
6. 名市大, 7. 東北大, 8. U. of Leeds, 9. Queen's U. Belfast

# Gas & Dust Observations in Disks



Revealing physical & chemical structure  
of planet-forming regions

# 原始惑星系円盤からのガス輝線の観測

UV H<sub>2</sub> Lyman-Werner  
band transitions

Optical [OI] 6300A

NIR

H<sub>2</sub> v=1-0 S(1), S(0),  
CO Δv=2, Δv=1,  
H<sub>2</sub>O, OH, HCN, C<sub>2</sub>H<sub>2</sub>, CH<sub>4</sub>

MIR

H<sub>2</sub> v=0-0 S(1), S(2), S(4)

H<sub>2</sub>O, OH, HCN, C<sub>2</sub>H<sub>2</sub>, CO<sub>2</sub>, etc.  
(Spitzer Space Telescope)

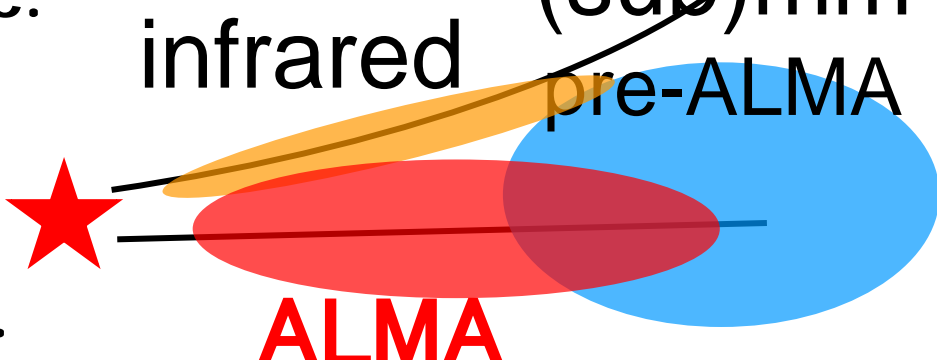
FIR

[OI] 63um, 145um,  
CO, H<sub>2</sub>O, CH<sup>+</sup>, HD, NH<sub>3</sub>, etc.  
(Herschel Space Observatory)

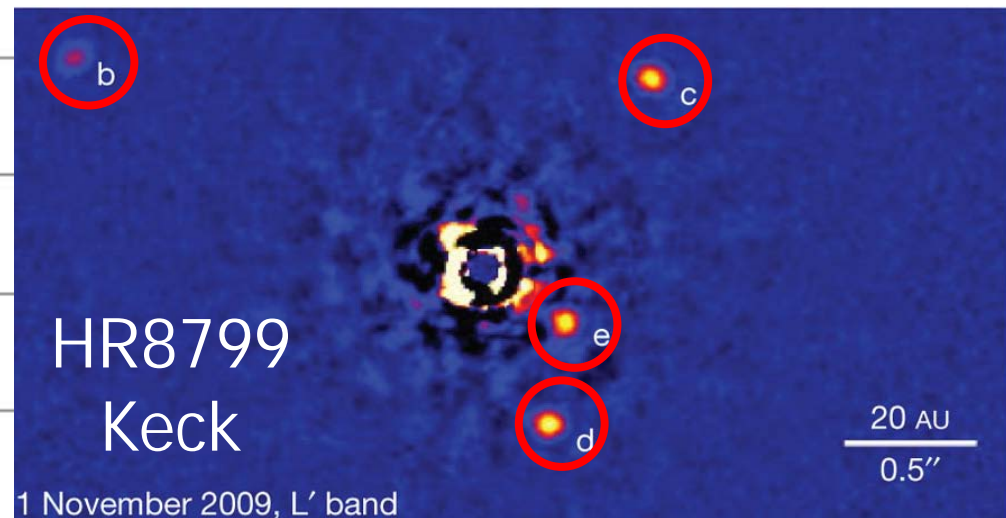
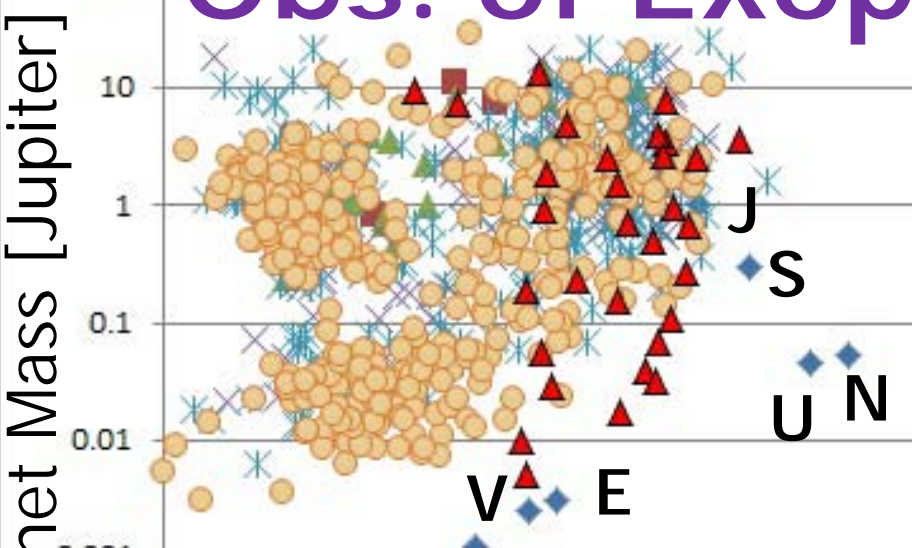
(sub)mm

<sup>12</sup>CO, <sup>13</sup>CO, C<sup>18</sup>O, C<sup>17</sup>O, <sup>13</sup>C<sup>18</sup>O  
HCO<sup>+</sup>, H<sup>13</sup>CO<sup>+</sup>, DCO<sup>+</sup>,  
C<sub>2</sub>H, c-C<sub>3</sub>H<sub>2</sub>, H<sub>2</sub>CO, CH<sub>3</sub>OH,  
HCN, H<sup>13</sup>CN, DCN, HC<sup>15</sup>N,  
HNC, CN, N<sub>2</sub>H<sup>+</sup>, N<sub>2</sub>D<sup>+</sup>,  
HC<sub>3</sub>N, CH<sub>3</sub>CN, CS, C<sup>34</sup>S, etc.

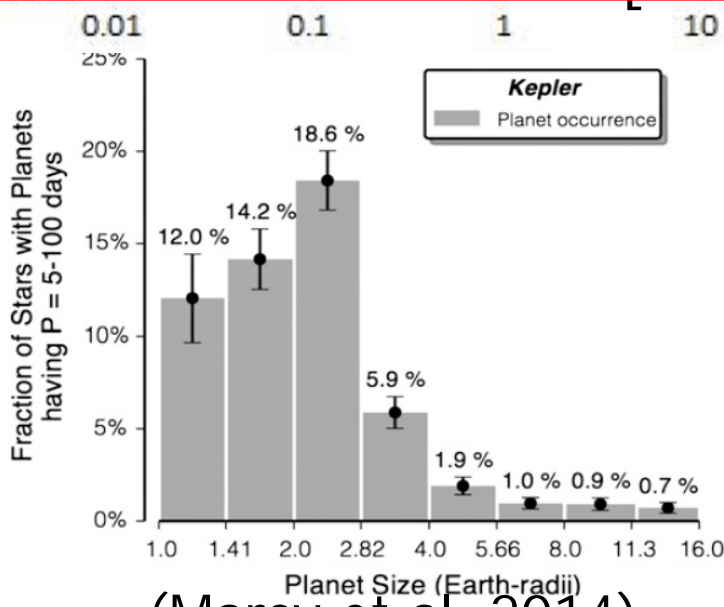
(sub)mm  
infrared



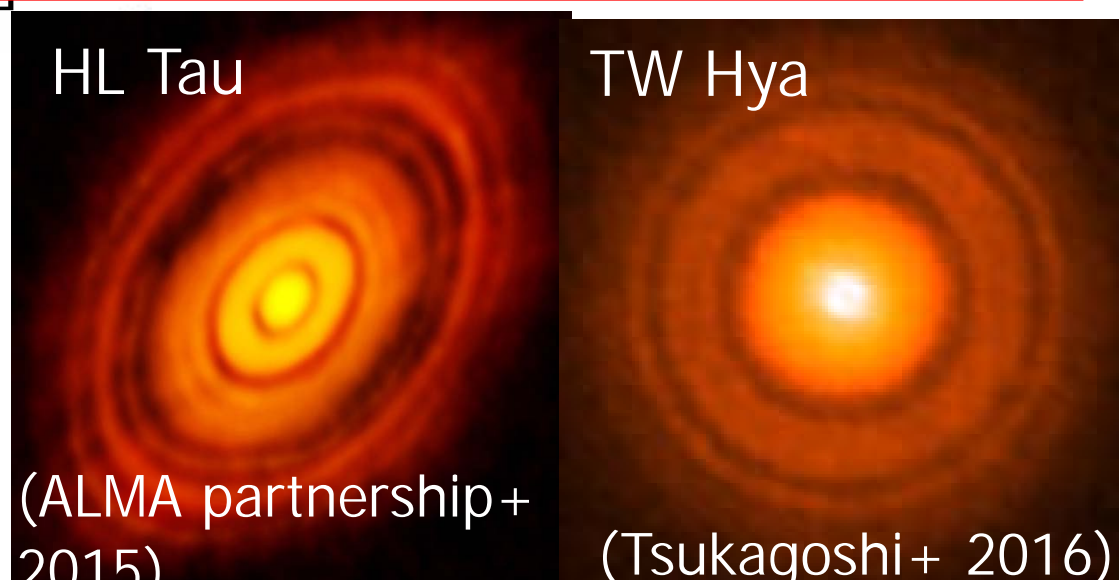
# Obs. of Exoplanets & PPDs



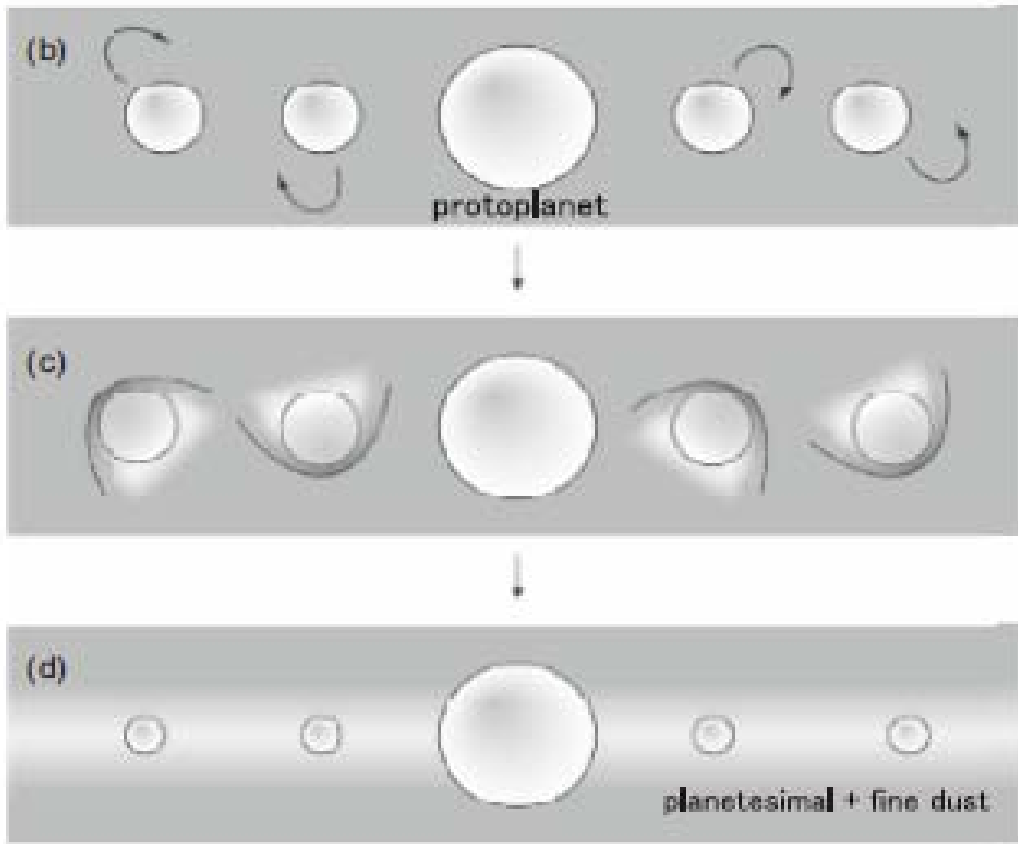
分子輝線で惑星形成の兆候をとらえられるか？



(Marcy et al. 2014)



# Evaporation of Icy Planetesimals



Formation of  
protoplanet/planet

↓  
Excite eccentricities of  
planetesimals

↓  
Evaporation of icy  
planetesimals due to  
shock heating

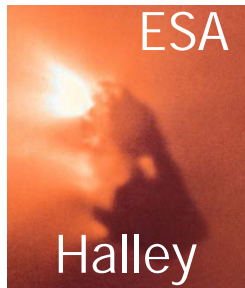
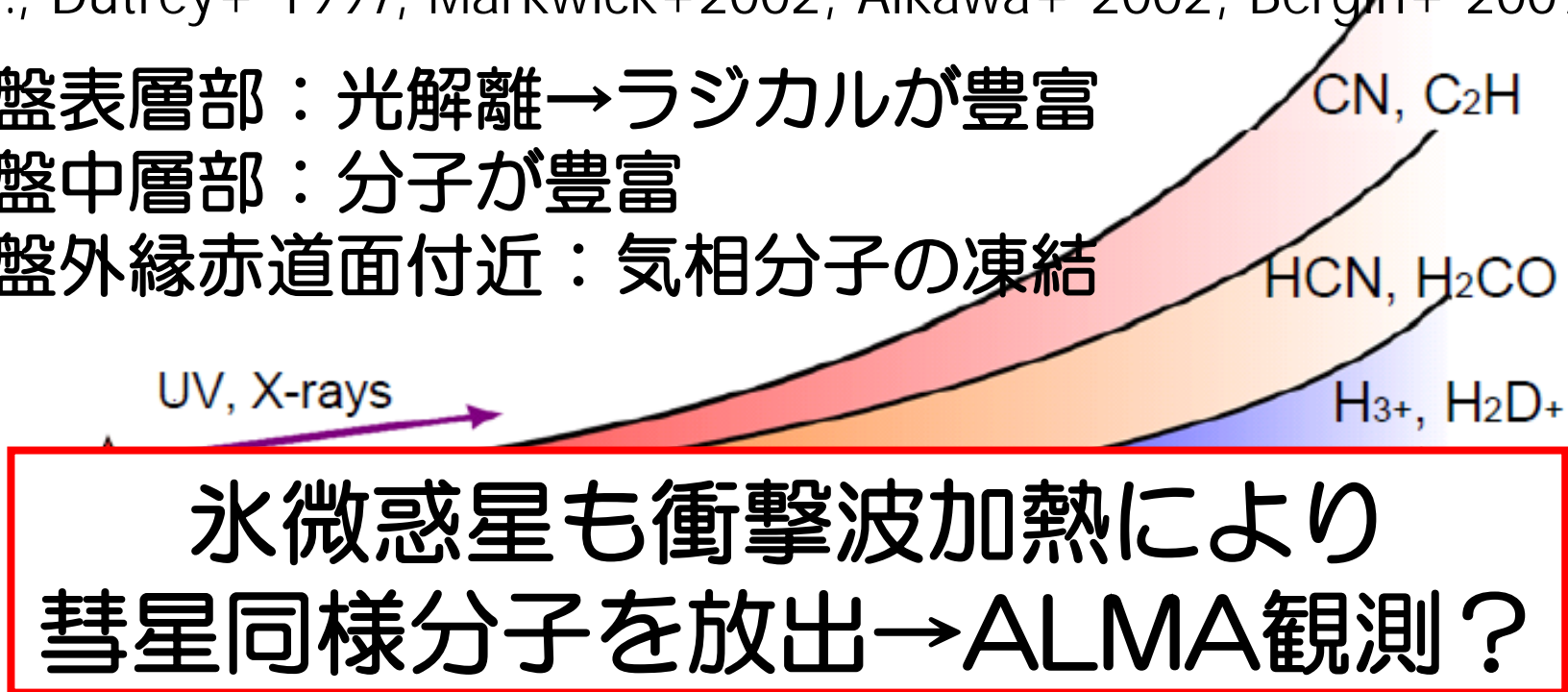
e.g., Kokubo & Ida 1998, Weidenschilling+ 1998, Tanaka+ 2013, Nagasawa+ 2014

**Can we detect evaporation of  
icy planetesimals with ALMA?**

# 原始惑星系円盤の化学構造

(e.g., Dutrey+ 1997, Markwick+ 2002, Aikawa+ 2002, Bergin+ 2007)

- ・円盤表層部：光解離→ラジカルが豊富
- ・円盤中層部：分子が豊富
- ・円盤外縁赤道面付近：気相分子の凍結



ESA

Halley

塵表面への凍結

H<sub>2</sub>O, CO<sub>2</sub>, CH<sub>4</sub>, CH<sub>3</sub>OH, H<sub>2</sub>CO,  
NH<sub>3</sub>, HCN, H<sub>2</sub>S, SO, etc.



岩石惑星



ガス惑星



氷惑星

# 化学モデル

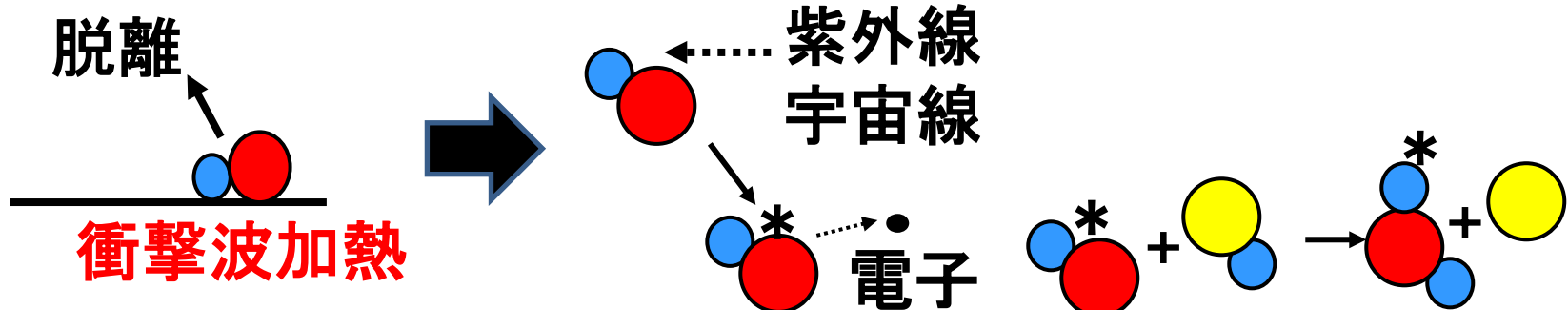
$$\frac{d(n_\alpha v_\alpha)}{dr} = \sum_\beta A_{\alpha\beta} n_\beta + \sum_{\beta,\gamma} B_{\alpha\beta\gamma} n_\beta n_\gamma$$

化学ネットワーク : 375種, 4346気相反応

UMIST Database for Astrochemistry (Woodall+ 2007)

初期条件 : 固相分子の気相への蒸発

CH4, C2H2, C2H4, C2H6, CO, CO2, O2, H2O,  
H2CO, CH3OH, C2H5OH, N2, NH3, H2S, OCS

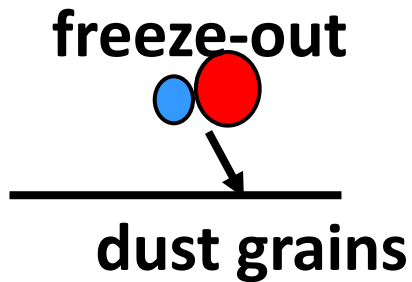


# 物理量依存性

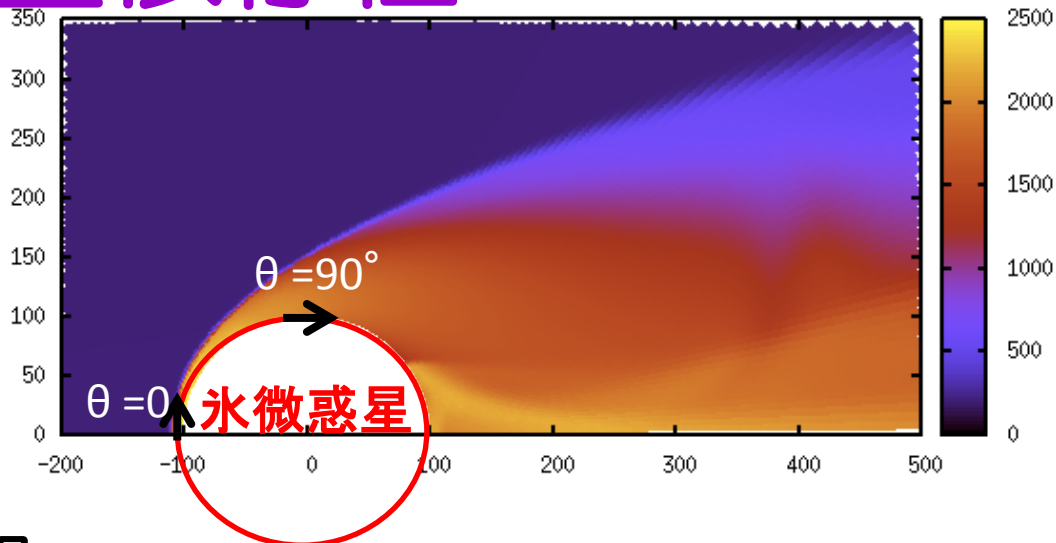
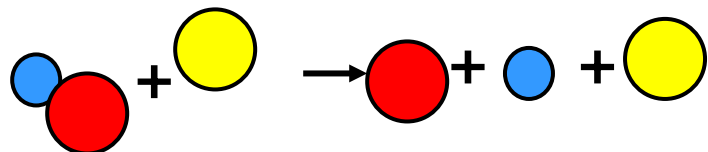
Yamazaki, Nakamoto, Nakajima, in prep.  
Nakajima (MSci thesis, 2009)

ダスト温度  
→ ダストへの凍結

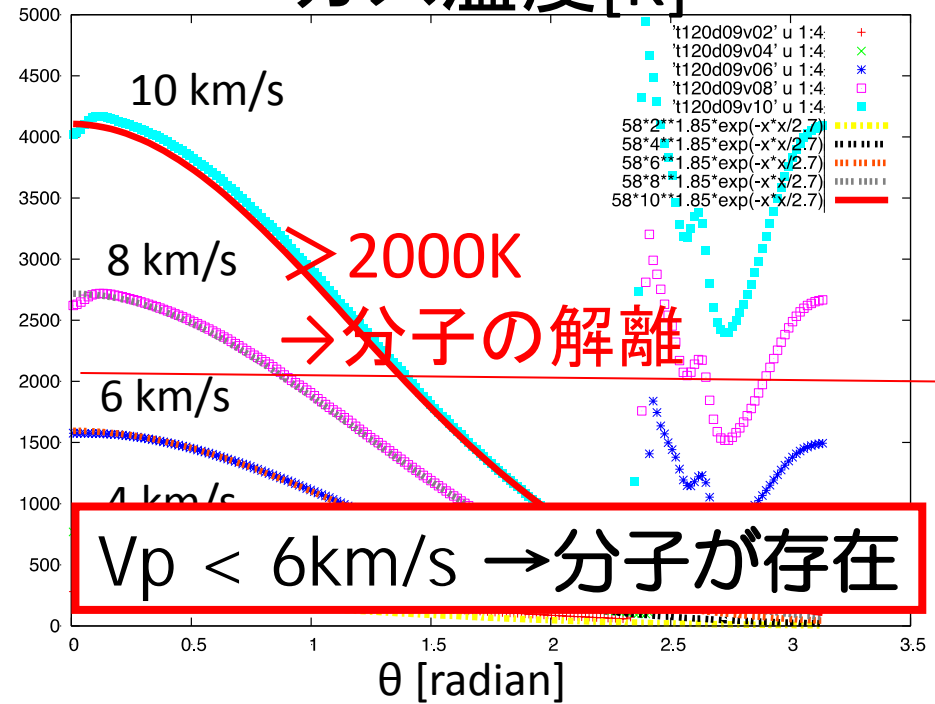
ダスト密度  
→ ダストへの凍結時間



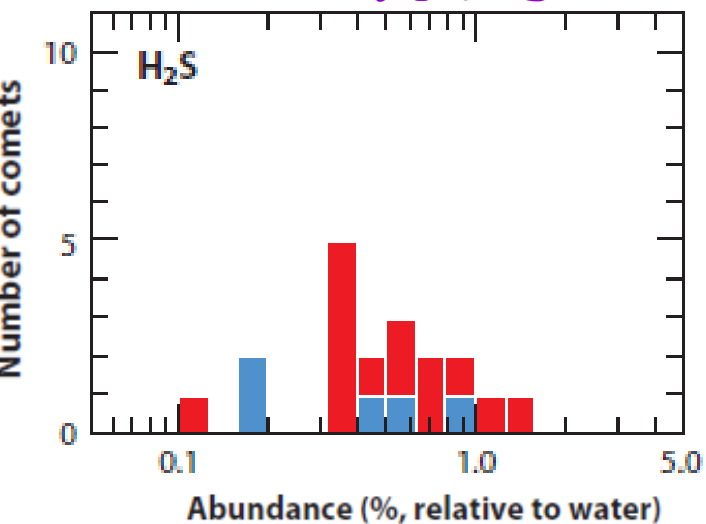
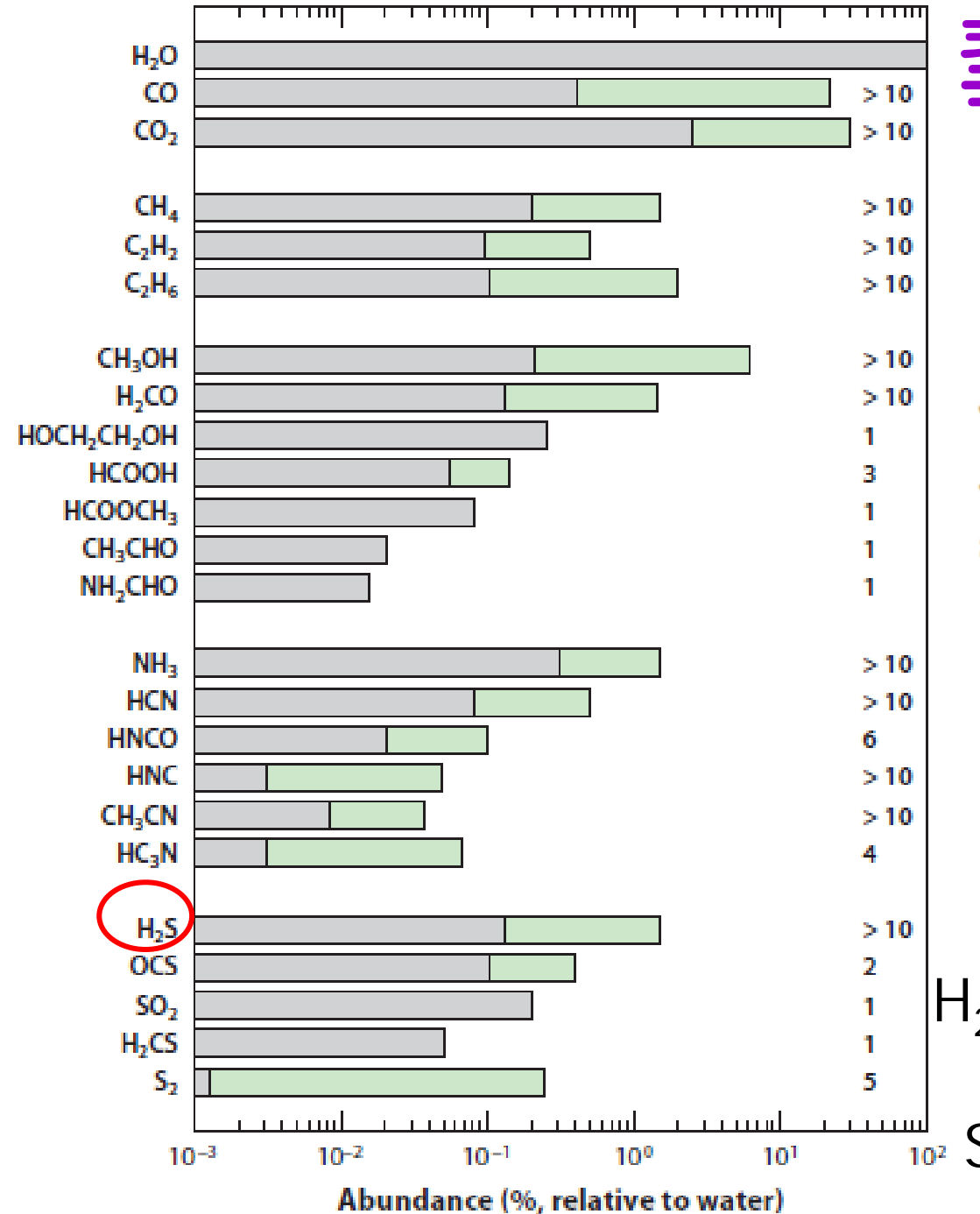
ガス温度 → 熱解離



ガス温度[K]



# 彗星からの分子の観測



$$\text{H}_2\text{S}/\text{H}_2\text{O} \sim 10^{-3}\text{-}10^{-2}$$

$$\text{SO}/\text{H}_2\text{O} \sim 10^{-3}$$

$$\text{SO}_2/\text{H}_2\text{O} \sim 10^{-3}$$

Rosetta (67P/C.-G.)

$$\text{H}_2\text{S}/\text{H}_2\text{O} \sim (0.67\text{-}1.75)\times 10^{-2}$$

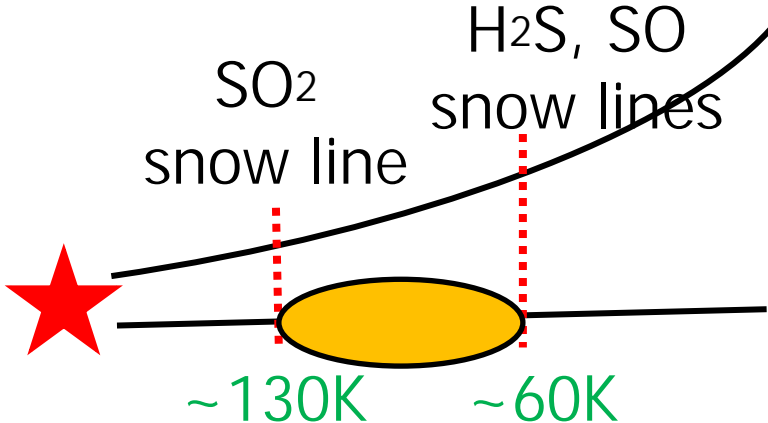
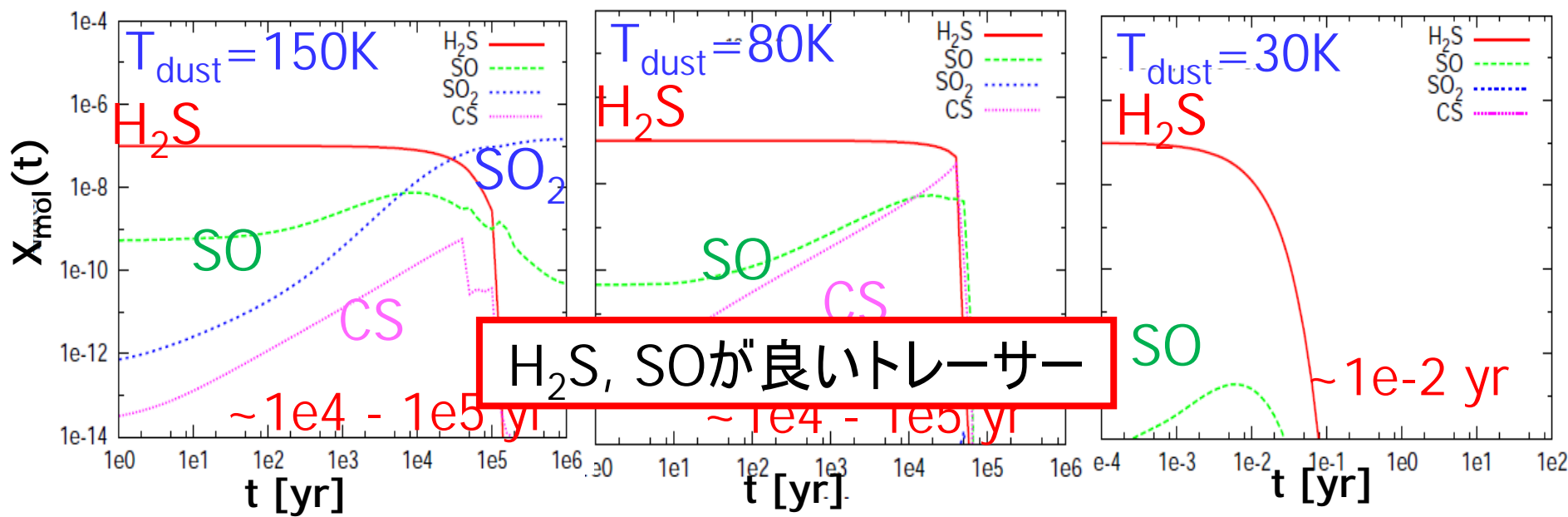
$$\text{SO}/\text{H}_2\text{O} \sim (1.4\text{-}4)\times 10^{-5}$$

$$\text{SO}_2/\text{H}_2\text{O} \sim (1.1\text{-}4.1)\times 10^{-4}$$

(Mumma & Charnley 2011, Calmonte et al. 2016)

# 硫黄を含む分子組成の時間進化

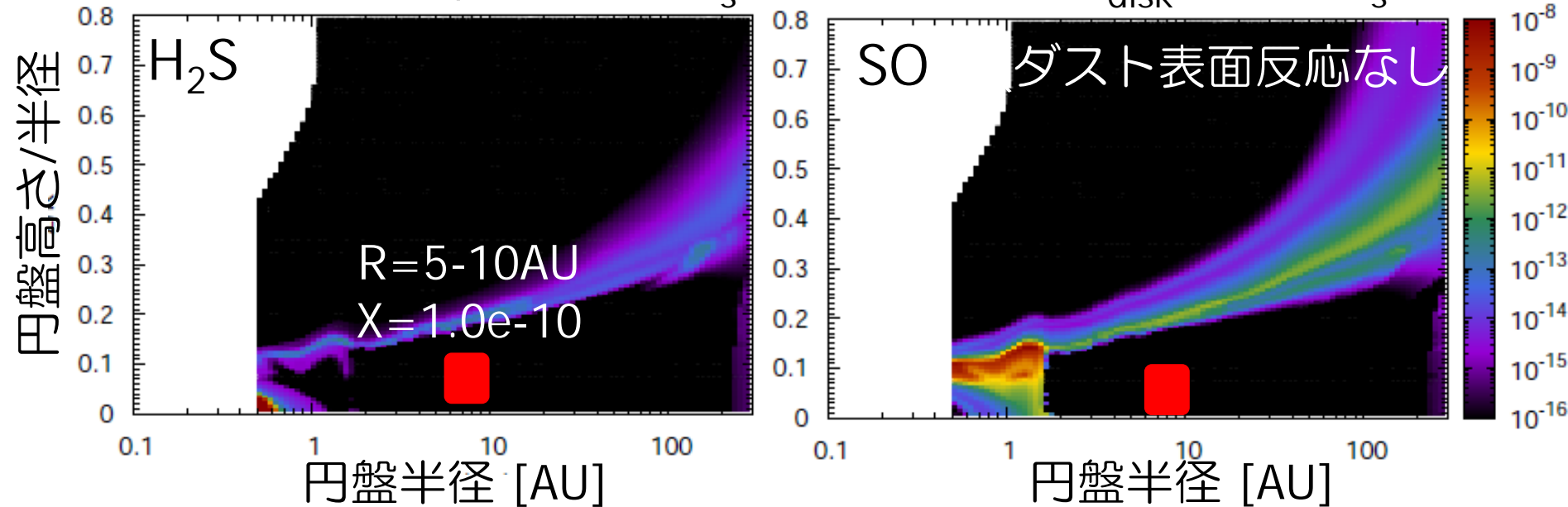
$V_p < 6 \text{ km/s}$ ,  $n = 1 \text{ e}12 \text{ cm}^{-3}$



蒸発分子が化学反応により失われる時間尺度  $\sim 10^{4-5} \text{ yr}$   
ダストへの凍結時間  
 $\sim 10^9 / (n[\text{cm}^{-3}]) \text{ yr}$

# $\text{H}_2\text{S}$ & SO分子輝線のALMA観測可能性

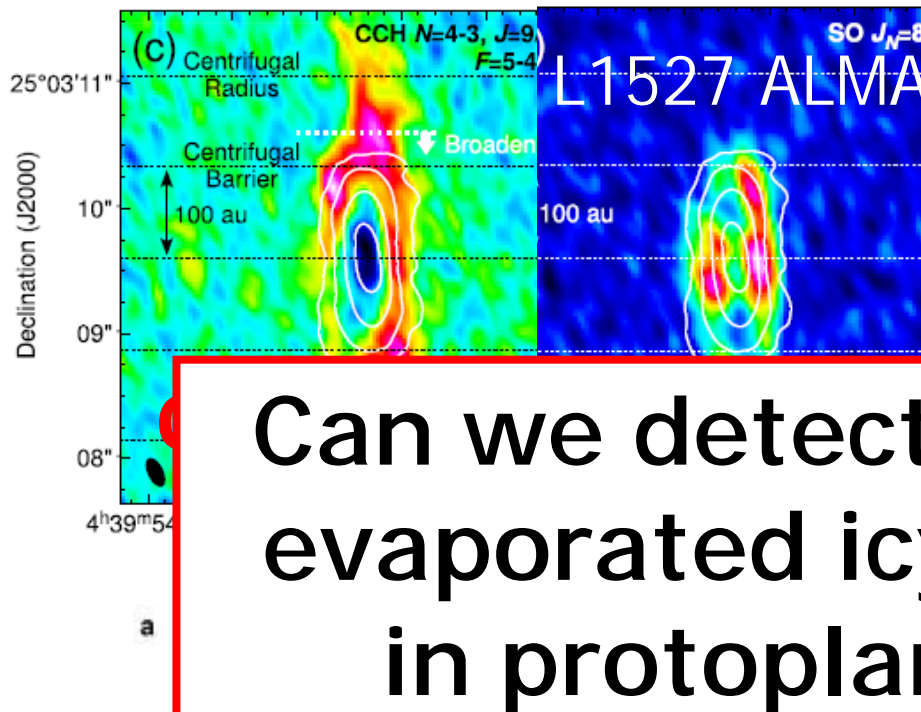
T Tauri star,  $M_*=0.5M_{\odot}$ ,  $T_*=4000\text{K}$ ,  $M_{\text{disk}} \sim 0.01M_{\odot}$



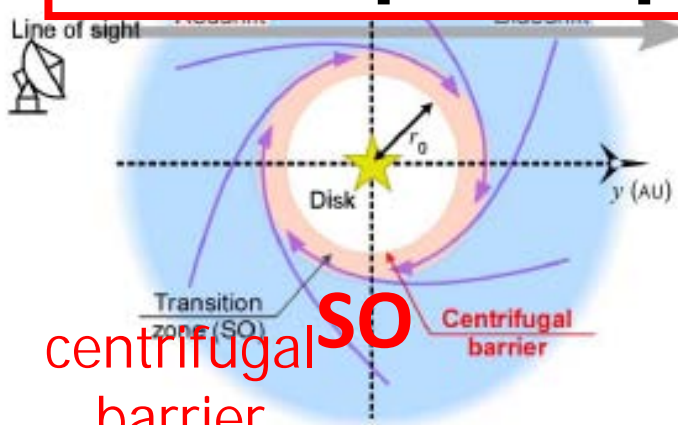
輝線ピーク フラックス密度	氷微惑星蒸発		これまでの観測 (IRAM 30m, Dutrey+11)
$\text{H}_2\text{S} 217\text{GHz}$	なし	あり	< 10mJy @ 169GHz
$\text{SO} @ 220\text{GHz}$	0.4mJy	45mJy	< 10mJy @ 99GHz

円盤半径~5-10AUで氷微惑星の軌道が励起されて衝撃波加熱が起きると,  $\text{H}_2\text{S}$ , SO分子輝線が観測可

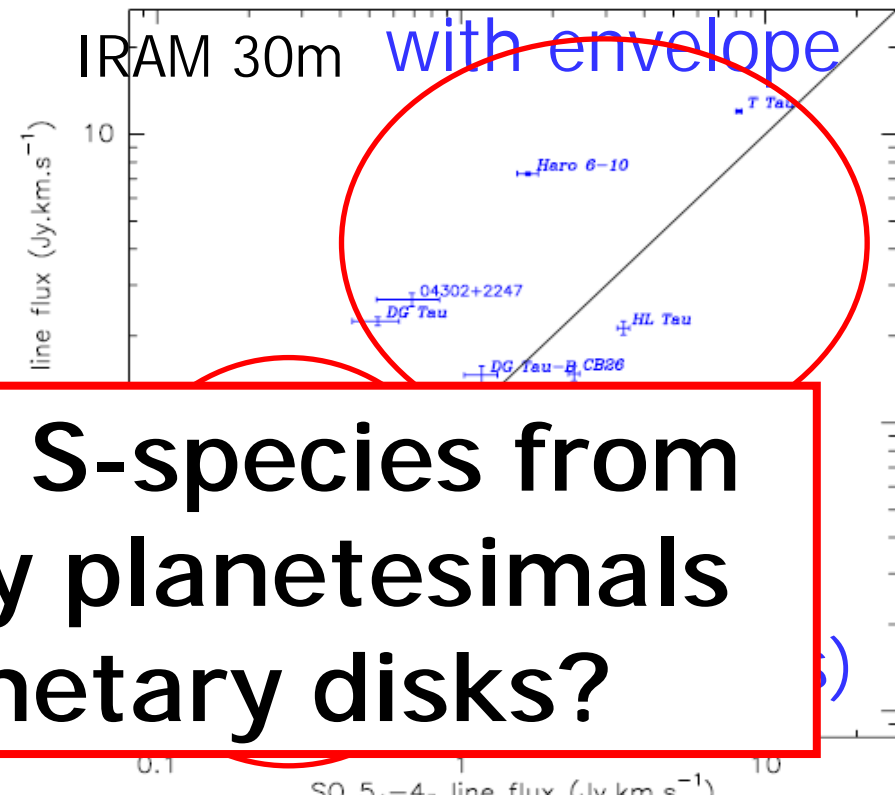
# 原始星天体と円盤からの硫黄分子の観測



Can we detect S-species from  
evaporated icy planetesimals  
in protoplanetary disks?



(Sakai et al. 2014, 2017)



(Guilloteau et al. 2013)

Protoplanetary disks

$\text{H}_2\text{S}$ @169GHz, < 10mJy

$\text{SO}$ @99GHz, < 10mJy

IRAM 30m (Dutrey et al. 2011)

# ALMA Observations of SO & H<sub>2</sub>S

Date: 2016. 8. 1, 17, 27

ALMA cycle 3, band 6 (PI: H. Nomura)

Dust cont., SO 6(5)–5(4), H<sub>2</sub>S 2<sub>2,0</sub>–2<sub>1,1</sub>

10 T Tauri disks in Taurus (angular resolution  $\sim 0.5''$ )

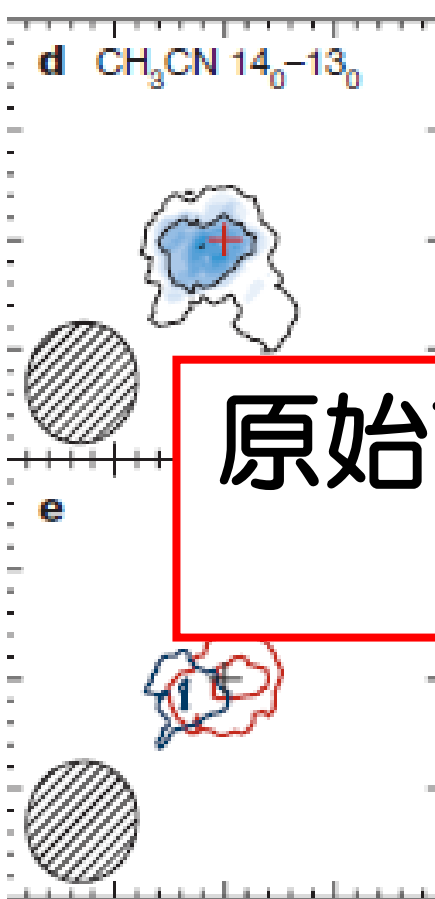
SO & H<sub>2</sub>S upper limits

By A. Higuchi

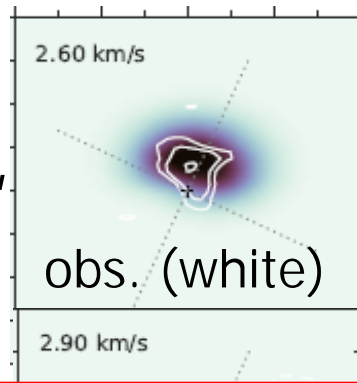
cf. SO 6<sub>7</sub>-5<sub>6</sub> @ jets 0.48-1.6Jy km s<sup>-1</sup> by IRAM 30m

(Guilloteau et al. 2016)

# 原始惑星系円盤からの氷蒸発分子の観測



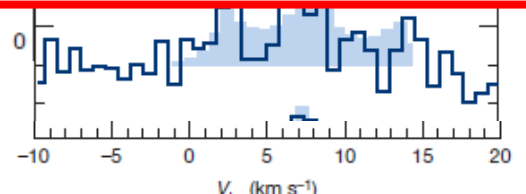
$\text{CH}_3\text{CN}$   
 $14_0-13_0, 14_1-13_1,$   
@ 257GHz,  
MWC480,



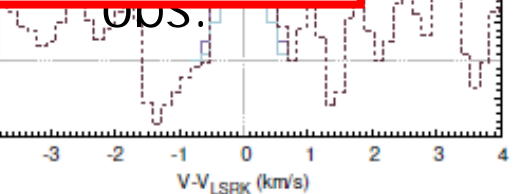
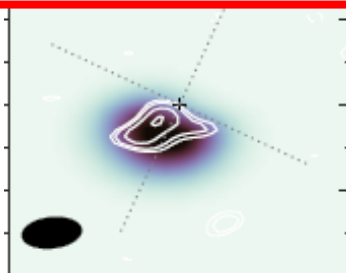
$\text{CH}_3\text{OH}$  @  
304, 305, 307GHz  
(stacking)  
TW Hya,

ALMA

原始惑星系円盤外縁の硫黄分子  
に制限を与える



(Oberg et al. 2015)



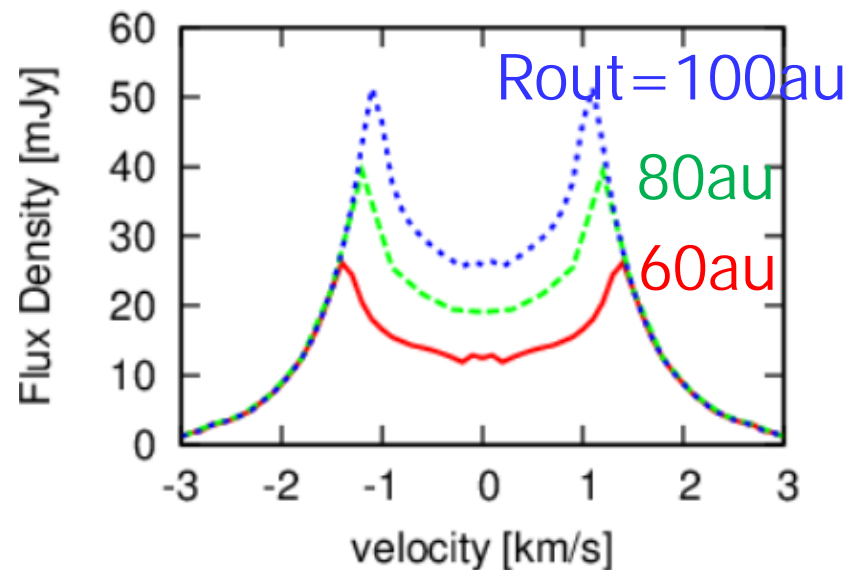
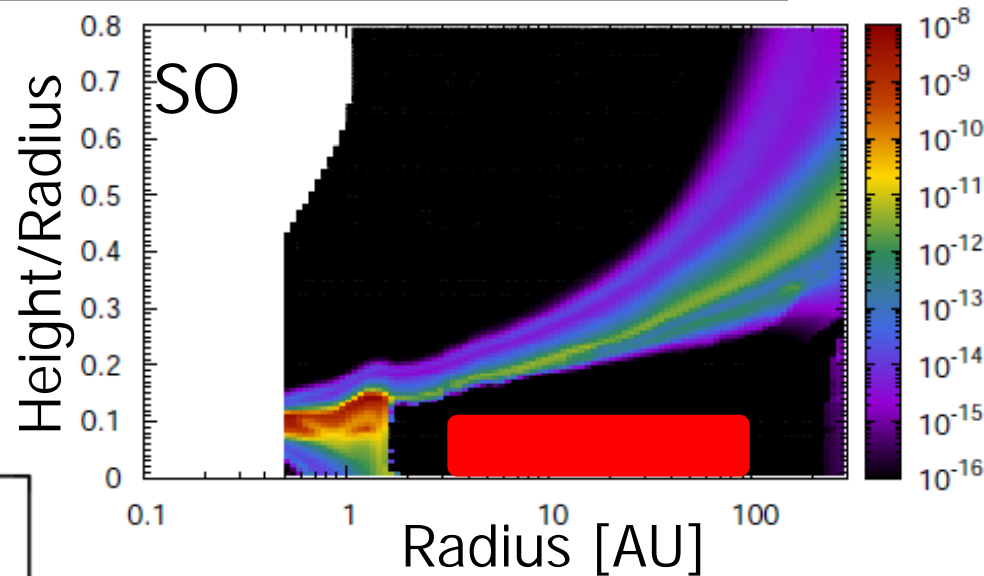
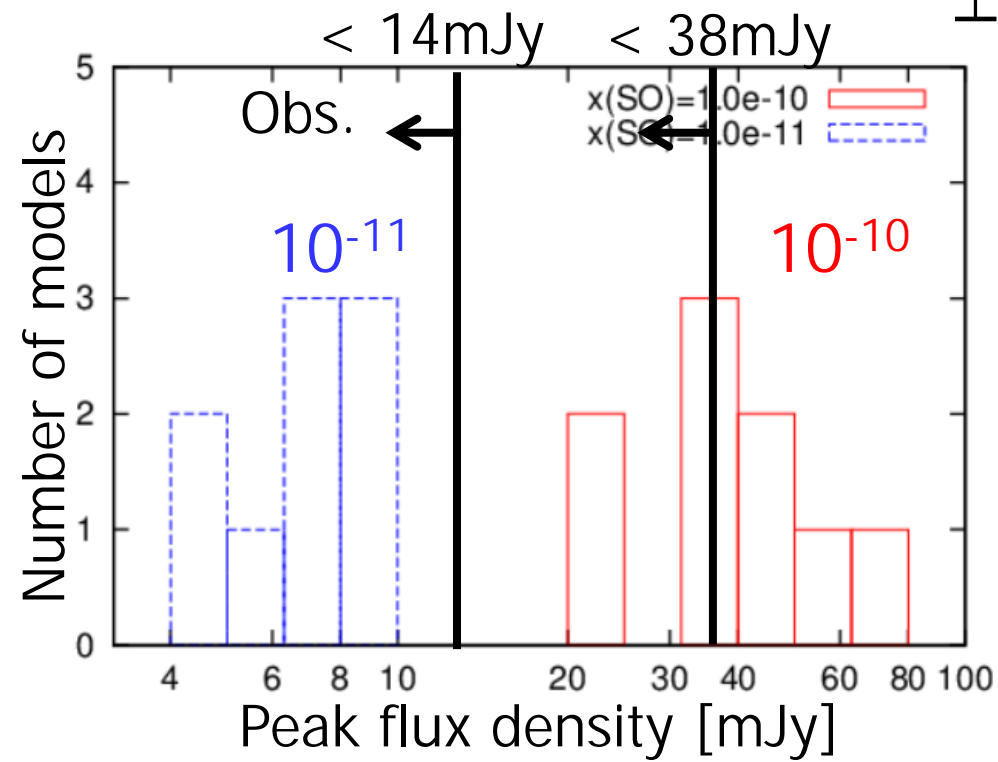
(Walsh et al. 2016)

Disk radii of 30-100AU for  $\text{CH}_3\text{CN}$ , 30-60AU for  $\text{CH}_3\text{OH}$   
 $\text{CH}_3\text{CN}/\text{HCN} \sim 5\text{-}20\%$ ,  $\text{CH}_3\text{OH}/\text{H}_2\text{O} \sim 0.7\text{-}5\% \Leftrightarrow$  comets  
\* gas-phase abundances  $\neq$  icy grain abundances

# Upper Limit of SO Abundance

physical model + line radiative transfer

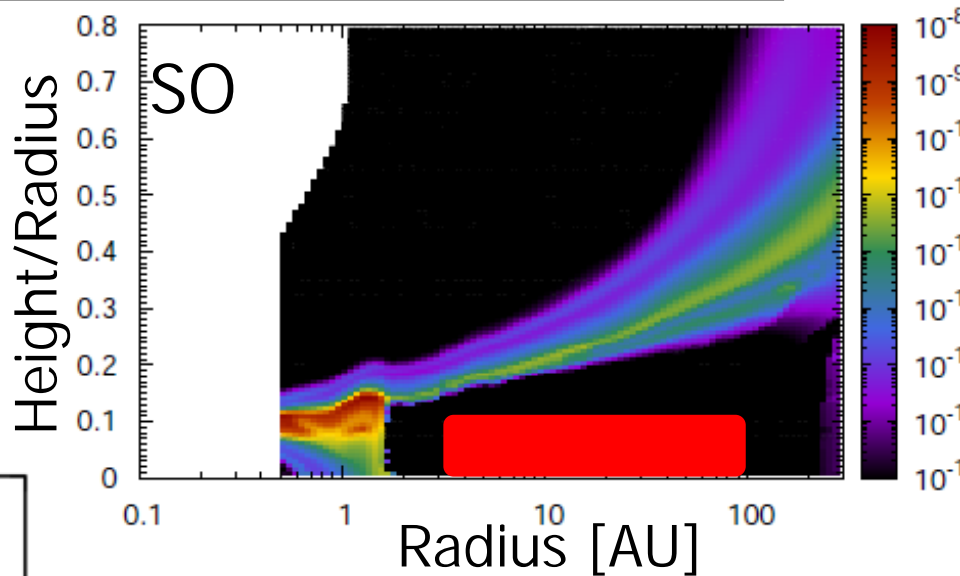
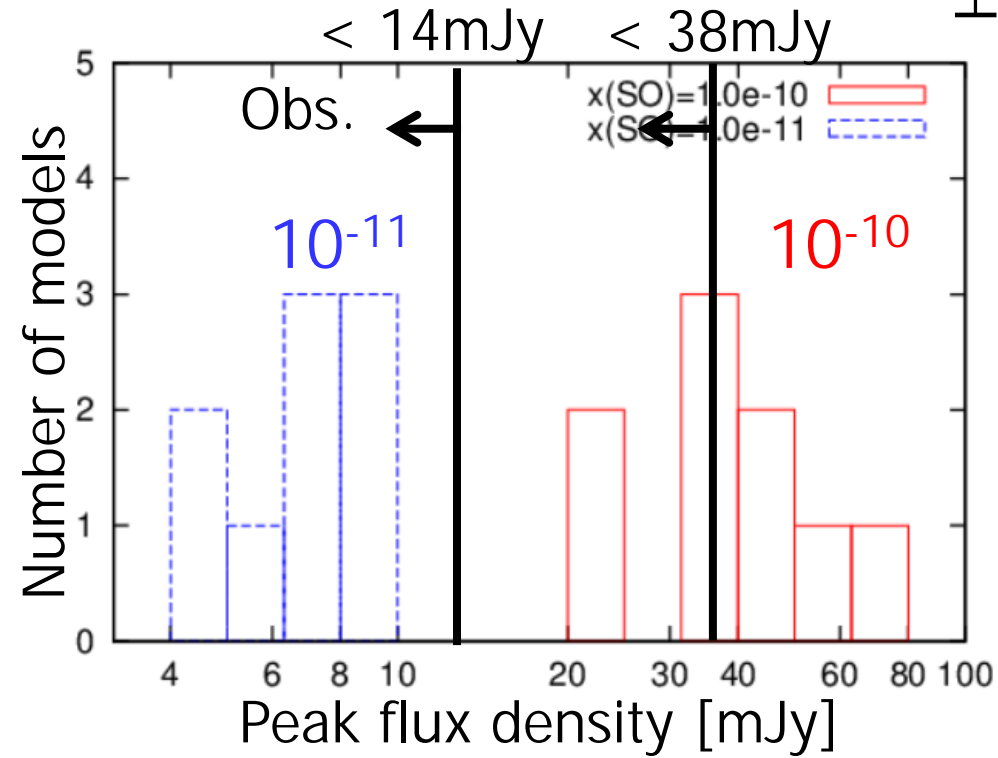
Abundance	<b>1e-11, 1e-10</b>
Inclination	$30^\circ$ , $55^\circ$ , $70^\circ$
Outer Radius	60 au, 80 au, 100 au



# Upper Limit of SO Abundance

physical model + line radiative transfer

Abundance	1e-11, 1e-10
Inclination	30° , 55° , 70°
Outer Radius	60 au, 80 au, 100 au



$x(\text{SO}) < 10^{-10}$

cf. TW Hya disk:

- $x(\text{H}_2\text{O}) \sim 10^{-9}$
- $x(\text{CH}_3\text{OH}) \sim 10^{-12}-10^{-11}$

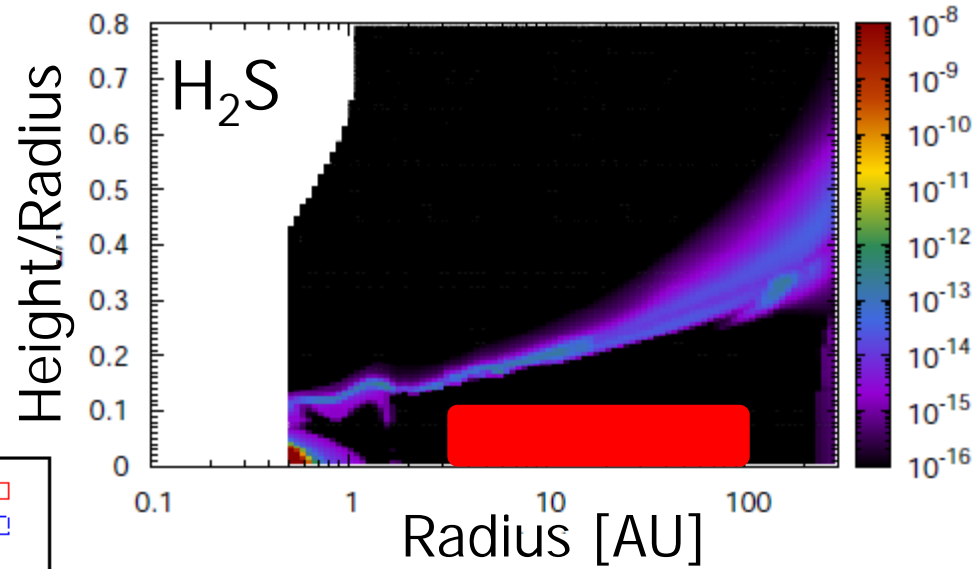
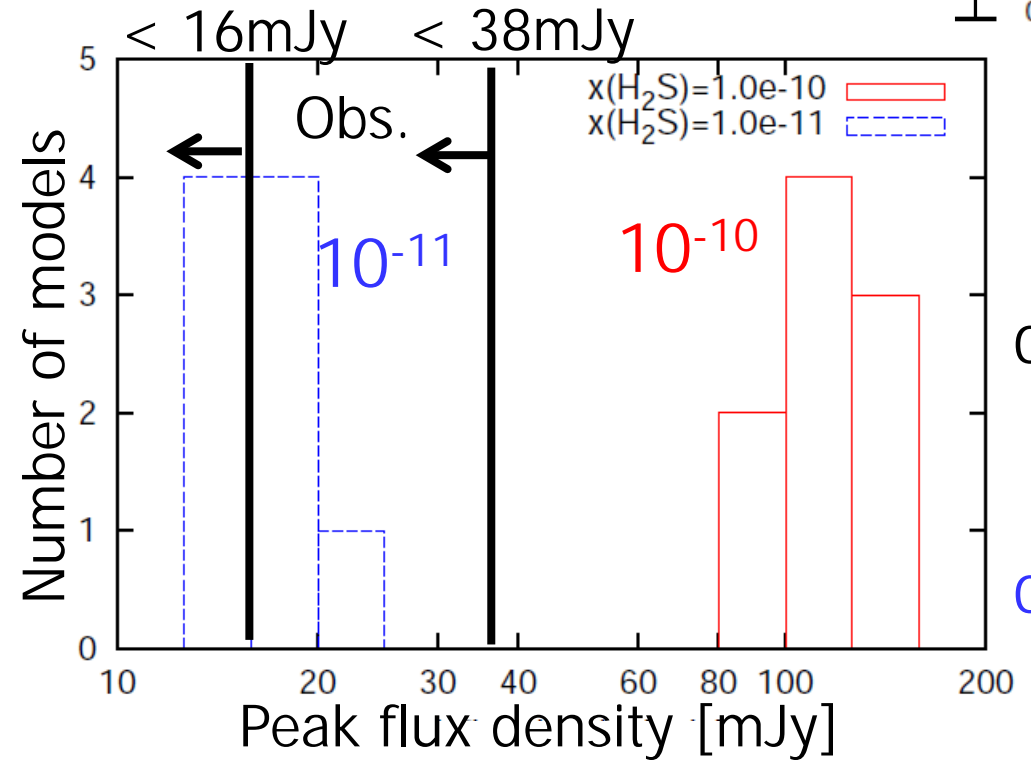
comets:  $\text{SO}/\text{H}_2\text{O} \sim 10^{-3}$

$\text{CH}_3\text{OH}/\text{H}_2\text{O} \sim 10^{-3} - 10^{-1}$

# Upper Limit of H<sub>2</sub>S Abundance

physical model + line radiative transfer

Abundance	1e-12, 1e-11
Inclination	30° , 55° , 70°
Outer Radius	60 au, 80 au, 100 au



$x(\text{H}_2\text{S}) < 10^{-10}$   
cf. TW Hya disk:  
 $x(\text{H}_2\text{O}) \sim 10^{-9}$   
 $x(\text{CH}_3\text{OH}) \sim 10^{-12}-10^{-11}$   
comets:  $\text{H}_2\text{S}/\text{H}_2\text{O} \sim 10^{-3}-10^{-2}$   
 $\text{CH}_3\text{OH}/\text{H}_2\text{O} \sim 10^{-3} - 10^{-1}$

# まとめ

## 原始惑星系円盤中の硫黄系分子のALMA観測

原始惑星系円盤中の惑星系形成にともなう  
氷微惑星の蒸発を  $\text{H}_2\text{S}$  & SO 輝線観測で検証

10個のTタウリ円盤で  $\text{H}_2\text{S}$  & SO 輝線を観測

観測上限値 + モデル計算

→ 円盤外縁領域の  $\text{H}_2\text{S}$  & SO 存在量に制限

$$x(\text{SO}) < 10^{-10} \text{ & } x(\text{H}_2\text{S}) < 10^{-10}$$

彗星中の  $\text{H}_2\text{S}$ ,  $\text{SO}/\text{H}_2\text{O}$  比 & 円盤・彗星の  
 $\text{CH}_3\text{OH}/\text{H}_2\text{O}$  比とコンシスティント

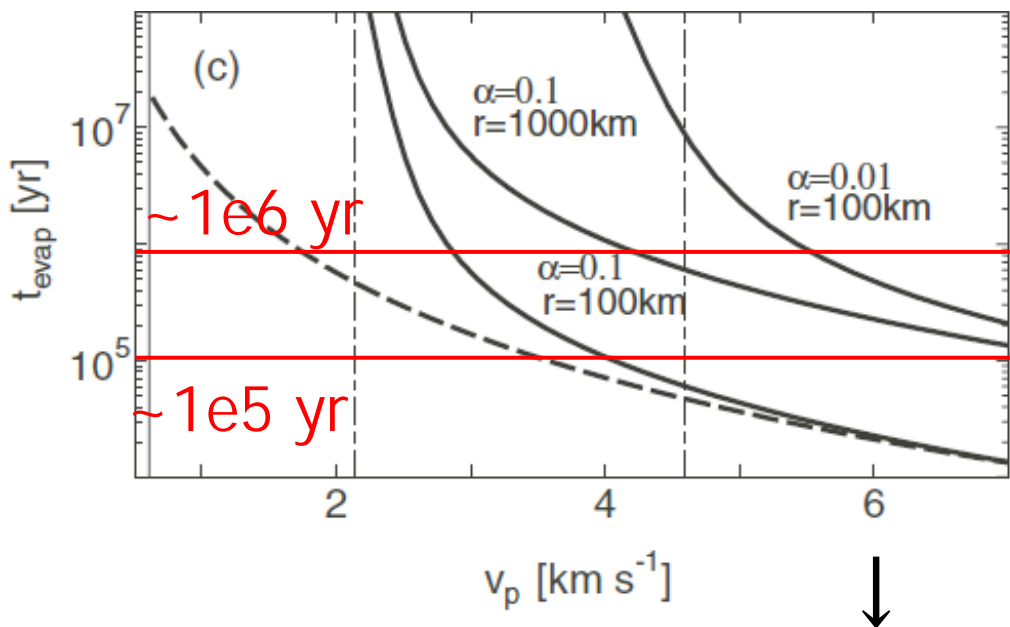
円盤中の氷 & 氷微惑星蒸発に強い制限を与える  
ためには、より高感度の観測が必要



# 時間尺度の比較：分子の気相滞在量

蒸発した分子の気相反応の時間尺度  $\sim 10^4 - 10^5$  yrs

1個の氷微惑星の蒸発にかかる時間  $\sim 10^5 - 10^6$  yrs



$$t_{\text{evap}} = \frac{m_p L_{\text{evap}}}{\pi r_p^2 F_{\text{heat}}}$$

(Tanaka et al. 2013)



平均すると蒸発した分子の10%程度が気相に滞在

微惑星の運動が励起されている時間  $\sim 10^6$  yrs

(Nagasawa et al. 2014)